

# 第一篇 流体力学

## 目 录

### 第一章 流体的性质

§ 1—1 单位	1—2
§ 1—2 因次	1—7
§ 1—3 纯数，有因次或无因次的常数和变数	1—10
§ 1—4 流体的粘性	1—12
§ 1—5 气体的粘度	1—15
§ 1—6 理想气体的膨胀和压缩	1—18

### 第二章 液体和气体的平衡

§ 2—1 流体中的压力和压力分布	2—2
§ 2—2 液体在重力下的平衡	2—3
§ 2—3 大气的平衡	2—5
§ 2—4 在其他力场中流体的平衡	2—8

### 第三章 流体力学

§ 3—1 连续性方程	3—2
§ 3—2 不稳定流动的加速度	3—5
§ 3—3 伯努利方程	3—9
§ 3—4 奈维—斯托克斯方程	3—14
§ 3—5 动力相似性	3—23
§ 3—6 层流与湍流	3—29
§ 3—7 流体的层流流动	3—31
§ 3—8 层流切应力、热传导与扩散	3—35
§ 3—9 湍流切应力、湍流传热和湍流传质	3—39

§ 3—1 0 粘性流体在光滑管和粗糙管中流动时的压力降	3—46
§ 3—1 1 水 力 学 直 径	3—51
§ 3—1 2 流动分离与涡旋的形成	3—54
§ 3—1 3 物体和流体作相对运动时的阻力	3—58
第四章 能量平衡在流体运动中的应用	
§ 4—1 管截面上的速度分布	4—1
§ 4—2 流体运动中的能量守恒	4—5
§ 4—3 粘性流体通过直管时的摩擦损失	4—7
§ 4—4 管道的突然扩大和收缩	4—9
§ 4—5 钢 包 出 流	4—12
§ 4—6 流 量 的 测 量	4—14
§ 4—7 高炉冷风流量计的误差及校正	4—25
第五章 固定散料层	
§ 5—1 比表面积和形状系数	5—2
§ 5—2 空 隙 度	5—5
§ 5—3 颗粒的平均粒度	5—7
§ 5—4 散料层的有效重	5—9
§ 5—5 流体流经散料层的压力降	
——札沃隆可夫方程	5—13
§ 5—6 流体流经散料层的压力降	
——柯曾尼 (Koz eny) 方程	5—18
§ 5—7 流体流经散料层的压力降	
——埃根 (Ergun) 方程	5—24
§ 5—8 散料层压力降方程的应用	5—27

## 第六章 边界层

§ 6-1	边界层厚度	6-1
一	边界层的物理厚度	6-3
二	边界层的位移厚度	6-3
三	边界层的动量厚度	6-5
§ 6-2	边界层的动量积分方程	6-6
§ 6-3	平板上湍流边界层的厚度	6-11
一	管内湍流流动的速度分布	6-12
二	平板上湍流边界层厚度	6-14
三	平板上纯湍流边界层的阻力系数	6-15
§ 6-4	平板上的复合边界层	6-16
§ 6-5	普朗特尔边界层方程及边界层的精确解	6-18
§ 6-6	管口的流动	6-26

## 第七章 因次分析与模型理论

§ 7-1	因次分析的基本用途	7-1
§ 7-2	无因次数	7-1
§ 7-3	白金汉定理(π定理)	7-3
§ 7-4	不可压缩、惰性、粘性液体的无因次方程	7-2
§ 7-5	单位的基本性质的数目	7-1
§ 7-6	模型理论	7-20

## 第六章 边界层

在讨论伯努利方程时，曾假定流体没有粘性。在某些条件下，这项假设带来的误差并不大，譬如粘性流体在受迫流动且且  $Re$  很大时，离开壁面一定距离以外的流体的速度基本上相同，速度分布线基本上是直线，这种速度分布线和理论上优无粘性流体相近，因此将适用于无粘性流体的各项方程用于这种情况下可以得出满意的结果。

但将无粘性流体的假设用来研究流体沿壁面上的能量耗散就失败了，用来分析流体与固体界面的传热与传质过程时也失败了，这表明还需要进一步分析粘性流体的运动。按流体力学的观点，流体在流动中，紧贴壁面的一层流体中速度的变化很大，这一层被称为边界层，它有几种定义，将在下文中讨论。由于边界层很薄，而其中的速度则自壁面处的零改变到主流速度，所以  $\frac{dy}{dx}$  值很大，相应的切应力自然也很大，于是粘性流体在流动中对固体壁面的切应力集中在边界层内，边界层以外的流体的粘着力则可忽略不计。如果流体与壁面存在温度或浓度的差异时，流体在流动中将发生传热和传质，阻碍传热与传质的阻力主要也集中在边界层内，由此可见边界层的重要性。本章所讨论的仅仅是牛顿型流体，以后不再指出。

### §6-1 边界层厚度

精确的实验发现，在边界层内，存在两类区域：①层流区；②湍流区。

在层流区内，由于流体具有粘性，在与流动相垂直的方向上存在速度差，相邻两层流体在流动过程中相互滑动，但相邻两层流体的质点的相互交换则很少，相互滑动表示切应力的存在，这种切应力完全由流体的粘性引起，也就是通过分子运动传递的，称为后

剪切应力。这在第三章中已详细叙述过。

在湍流区内，流体湍动运动，既在流体前进的方向上存在速度脉动，又在与前进方向相垂直的方向上存在速度的脉动，后一种速度的脉动使邻近两层流体的质点发生明显的交换。由于相邻流体存在速度差，质点的交换也带来了能量的交换，从而产生切应力，这种切应力称为湍流切应力；当  $R_e$  足够大时，它在壁面上显著超过粘性切应力。

以流体经平板为例讨论边界层流动的主要实用意义，因为平板是冶金工业中多种设备的基本几何形状。

主流速度  $V_\infty$  平流流动的流体在流动中遇到一块平板，这里  $V_\infty$  称为主流速度，未受平板干扰而影响速度的流体称为主流。平板的端部为尖端，由于流体具有粘性，可以设想总是在一层极薄极薄的流体层上附着在板面上，这层靠近板面以外的流体由于和壁面流体同存在粘力而产生减速，于是形成层流边界层，它的厚度以  $\delta$  表示。随着流体向下游运动，有更多主流运动易消失在克服切应力的阻力上， $\delta$  逐渐增厚，到达平板上某一点，层流转变为湍流。湍流区的切应力比层流区大得多，平板对流体运动的阻力可以迅速地传递到较远的地方，因此随着流体向下游运动，湍流边界层的厚度增长得很快，比层流边界层增长得更快，于是在平板上的边界层内可划分三个区，即层流区、过渡区和湍流区，但即使在湍流区内，湍流边界层的下方，紧贴平板处仍然存在一层层流底层，这层底层的厚度与边界层相比是微不足道的，大约只有一毫米的数十分之一，底层内的切应力又完全由于流体具有粘性而产生，平板上

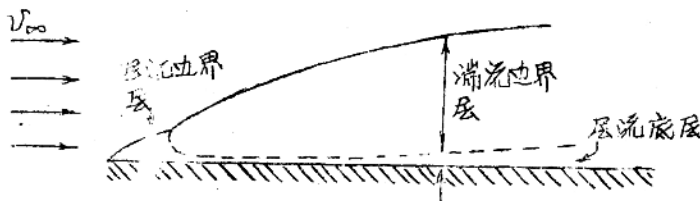


图 6-1 平板上的边界层

的边界层如图(6-1)所示。

边界层对流体流动时的动量传递、传热和传质具有垂直接影响，因此仅仅从性质上讨论还不够，需要从数量上确定。首先要给边界层的厚度以明确定义，边界层厚度由于在不同的场合中为了方便表示而给予不同的定义。

### 一、边界层的物理厚度

自流体流速为零到流体速度相当主流速度99%处的已向称为边界层的物理厚度，所以在迎接来流的板的端头处，边界层的物理厚度为零。

### 二、边界层的位移厚度 $\delta^*$

设平稳流动的流体在流动中流经一块无限宽的平板，在板凸上方形成边界层，于是首先在平板端部，紧贴板凸的流层就成为边界层中流体的一部份，流体在进入边界层之前的质最流与主流相同，而在进入边界层之后，由于有较大的切应力，质量速度降低了。设主流的质量流率为  $P_{\infty} V_{\infty}$ ，进入边界层后降低为  $P \delta$ ，按照连续性方程，流层截面必须相应增加，在二维流动中，意味着边界层流层的厚度必须相应增加，于是主流流层也相应向离开板凸的方向作轻微移动。

如果流体是无粘性的，那末在流经平板时不形成边界层，为了

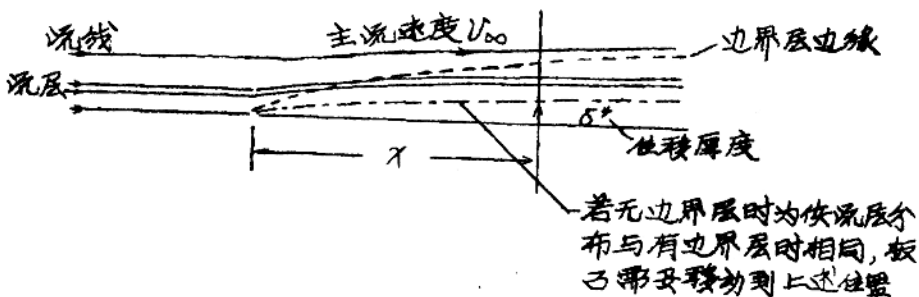


图 6-2 边界层的位移厚度

6-4

当主流流层和壁面边界层时一样向外移动，只有将平板移若干距离，这个距离就叫做边界层的位移厚度 $\delta^*$ ，如图(6-2)所示。

令  $\frac{y}{\delta} = \bar{y}$ ,  $\frac{U}{U_\infty} = \bar{U}$ , 则  $\bar{y}$  和  $\bar{U}$  都是无因次值，若边界层内的速度分布为  $\bar{U} = f(\bar{y})$ ，边界层的位移厚度 $\delta^*$ 可按下法计算。

在板上一点  $x$  处(图 6-3)，在边界层厚度 $\delta$ 内的质量流率必须与厚度为 $\delta^*$ 内的质量流率相等。换句话说，在边界层内的质量流率的差(相当凸积 OABR)为

$$\int_0^{\delta} (P_{\infty} U_{\infty} - P) dy$$

它必须和以主流的速度 $P_{\infty}$ 和速度 $U_{\infty}$ 流经位移边界层厚度 $\delta^*$ 内的质量流率(相当凸积 OPQR)即  $P_{\infty} U_{\infty} \delta^*$  相等。

于是  $\int_0^{\delta} (P_{\infty} U_{\infty} - P) dy = P_{\infty} U_{\infty} \delta^*$

即  $\delta^* = \int_0^{\delta} \left(1 - \frac{P}{P_{\infty} U_{\infty}}\right) dy$

或  $\frac{\delta^*}{\delta} = \int_0^1 \left(1 - \frac{P}{P_{\infty} U_{\infty}}\right) d\bar{y}$  (6-1)

如果流体不可压缩，则  $P = P_{\infty}$ ，于是式(6-1)可改写为

$$\frac{\delta^*}{\delta} = \int_0^1 (1 - \bar{U}) d\bar{y}$$

……(6-2)

于是位移边界层厚度

$$\delta^* = \delta \int_0^1 (1 - \bar{U}) d\bar{y}$$

上述位移边界层厚度是在二维流动的基础上推导而得，因而仅适用于二维流动。如果流体沿

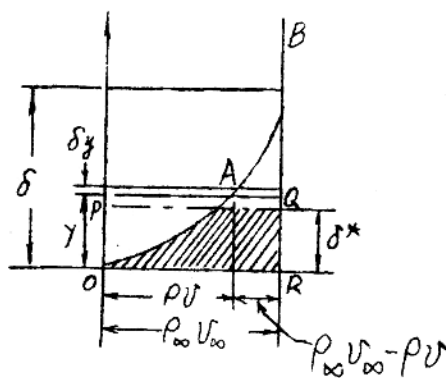


图 6-3 在 X 点处的质量流率

曲凸流动，曲凸的曲率半径远远大于边界层厚度时，上述适用于二维流动的位移边界层厚度的计算方法仍然适用，但当曲凸的曲率半径接近边界层厚度时，上述方法不适用。

### 三、边界层的动量厚度( $\theta$ )

边界层内流体的流速低于主流的流速，在物面才处，高度为 $\delta_y$ 的边界层流层中，流体的质量流率为 $\rho U \delta_y$ ，而全流体的动量为 $\rho U^2 \delta_y$ ，如果这部分流体具有主流的速度 $U$ ，其动量为 $\rho U^2 \delta_y$ ，后者大于前者，两者的差为：

$$\rho U (U_{\infty} - U) \delta_y$$

现在定义动量厚度 $\theta$ 。

如果不考虑边界层，厚度为 $\theta$ 的流层内的质量流率为 $\rho U_{\infty}^2 \theta$ ，

令

$$\int_0^\delta \rho U (U_{\infty} - U) dy = \rho_{\infty} U_{\infty}^2 \theta$$

$$\text{亦即 } \theta = \int_0^\delta \frac{\rho U}{\rho_{\infty} U_{\infty}^2} \left(1 - \frac{U}{U_{\infty}}\right) dy$$

$$\text{或 } \frac{\theta}{\delta} = \int_0^1 \frac{\rho U}{\rho_{\infty} U_{\infty}} \left(1 - \frac{U}{U_{\infty}}\right) d\bar{y} \quad (6-3)$$

由上述可见，边界层内的流体的质量流率若以主流速度流动时动量流率要大于以实际速度流动时的动量流率。不存在边界层时厚度为 $\theta$ 的流层内的动量流率与两者的差相同时，该流层厚度称为边界层的动量厚度。

当流体不可压缩时，得

$$\frac{\theta}{\delta} = \int_0^1 \bar{U} (1 - \bar{U}) d\bar{y}$$

## §6-2 边界层的动量积分方程

如果已知边界层内的速度分布，那末可以利用比较简单 的动量积分方程来计算不可压缩流体稳定流经平板时的边界层厚度的增长率以及阻力。此法的数学 过程较少，但对工程问题来说，精确度是足够的了。

参看图(6-4)，设壁上位置为  $x$  和  $x+\Delta x$  的一段边界层，因为是二维流动，可以取四尔控制凸，其中 AB 和 CD 垂直  $x$  轴，间距为  $\Delta x$ ；平行于  $x$  轴的 BC 凸也是四尔控制凸，平板上取 AD 为控制凸。四尔控制凸都具有单位宽度，所以宽度在方程中将不出现。

流入控制凸 AB 的流体质点质量流率为

$$W_x = \int_0^h \rho u_x dy \quad (6-4)$$

于是动量流率为

$$M_x = \int_0^h \rho u_x^2 dy \quad (6-5)$$

流击控制凸 CD 的流体质点质量流率为

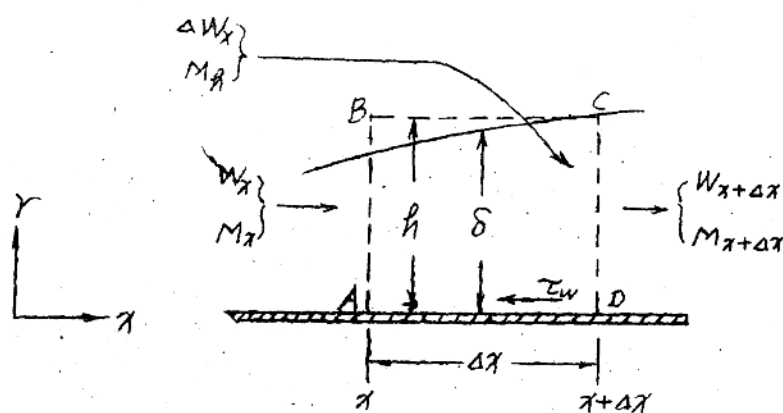


图 6-4 平板上边界层内流体质点的质量与动量

$$W_{x+\Delta x} = \int_0^h \rho v_x^2 dy + \frac{d}{dx} \left[ \int_0^h \rho v_x^2 dy \right] \Delta x \quad (6-6)$$

流过控制面 CD 的流体动量流率为

$$M_{x+\Delta x} = \int_0^h \rho v_x^2 dy + \frac{d}{dx} \left[ \int_0^h \rho v_x^2 dy \right] \Delta x \quad (6-7)$$

于是该区间  $x+\Delta x$  中质量流率的增加为

$$\Delta W_x = W_{x+\Delta x} - W_x = \frac{d}{dx} \left[ \int_0^h \rho v_x^2 dy \right] \Delta x \quad (6-8)$$

既然控制面 AD 是平板本身，不存在流体穿越，所以为了满足连续性方程，必有一部分流体穿越控制面 BC 进入，这部分流体为  $\Delta W_x$ ，它具有主流速度  $v_\infty$ ，带入的动量为

$$M_p = \Delta W_x \cdot v_\infty \quad (6-9)$$

单位边界层中所得到的动量等于失去的动量减去获得的动量，即

$$M_{x+\Delta x} - M_x - M_p \quad (6-10)$$

由动量定律知，单位时间内动量的改变相当于一之力，因此单位边界层所获得的动量必等于平板凸  $\Delta x$  距离内所作用的切应力，所以

$$M_{x+\Delta x} - M_x - M_p = -\tau_w \cdot \Delta x \quad (6-11)$$

$$\text{又 } \mu \left( \frac{\partial v_x}{\partial y} \right)_{y=0} = \tau_w \quad (6-12)$$

所以得

$$\frac{d}{dx} \left[ \int_0^h \rho v_x^2 dy \right] \Delta x - v_\infty \frac{d}{dx} \left[ \int_0^h \rho v_x dy \right] \Delta x = -\mu \left( \frac{\partial v_x}{\partial y} \right)_{y=0} \cdot \Delta x \quad \dots \dots \quad (6-13)$$

将自 0-h 的积分分为两段，即

$$\int_0^h = \int_0^\delta + \int_\delta^h$$

而且在  $\delta$  和  $h$  处， $v_x = v_\infty$ ，且设  $\rho$  和  $\mu$  为常数，于是式 (6-13)

6-3

可简化为

$$\rho \frac{d}{dx} \left( \int_0^\delta (V_\infty - V_x) dy \right) = C_w \quad (6-14)$$

$$\text{令 } \frac{V_x}{V_\infty} = \bar{V}, \quad \frac{y}{\delta} = \bar{y}$$

则上式变为

$$C_w = \rho V_\infty^2 \frac{d}{dx} \left[ \delta \int_0^1 \bar{V}(1-\bar{V}) d\bar{y} \right] \quad (6-15)$$

$$\text{但 } \delta \int_0^1 \bar{V}(1-\bar{V}) d\bar{y} = \dots$$

$$\text{所以 } C_w = \rho V_\infty^2 \frac{d}{dx} \left[ \delta \int_0^1 \bar{V}(1-\bar{V}) d\bar{y} \right] = \rho V_\infty^2 \frac{d\theta}{dx}. \quad \dots \dots \quad (6-16)$$

在边界层理论中以物体在粘性流体中运动时，阻力集中在边界层中，因此

$$C_w = \mu \left( \frac{\partial V_x}{\partial y} \right)_w = C_f \rho \frac{V^2}{2} \quad (6-17)$$

式中  $C_f$  为阻力系数。

比较式 (6-16) 和式 (6-17) 得

$$C_f = 2 \frac{d\theta}{dx} \quad (6-18)$$

$$\text{令 } \int_0^1 \bar{V}(1-\bar{V}) d\bar{y} = I, \text{ 则}$$

$$C_f = 2I \frac{d\theta}{dx}. \quad (6-19)$$

由上式可知， $I$  取决于沿  $x$  方向上的速度分布，在一定条件下， $I$  可以积分，而且具有一个常数值，边界层内的速度分布有许多关系式，现用其中一尔最简单的，即

$$\bar{V} = \sin \frac{\pi}{2} \bar{y} \quad (6-20)$$

现在用式 (6-20) 推导平面上边界层厚度的增长率。已知

$$C_f = \frac{\tau_w}{\frac{1}{2} \rho V_\infty^2} = \frac{2\mu}{\rho V_\infty^2} \left( \frac{dV_x}{dy} \right)_w$$

$$\left( \frac{dV_x}{dy} \right)_w = \frac{V_x}{\delta} \left( \frac{d\bar{v}}{dy} \right)_w = \frac{V_\infty}{\delta} D_0$$

其中，令  $D_0 = \left( \frac{dV_x}{dy} \right)_w$ ,

于是  $C_f = \frac{2\mu}{\rho V_\infty \delta} D_0$

由式(6-19)得

$$\frac{d\delta}{dx} = \frac{C_f}{2I} = \frac{\mu}{\rho V_\infty \delta} \cdot \frac{D_0}{I} \quad (6-21)$$

分离变量得

$$\delta d\delta = \frac{\mu}{\rho V_\infty} \cdot \frac{D_0}{I} dx$$

积分上式得

$$\frac{\delta^2}{2} = \frac{\mu x}{\rho V_\infty} \cdot \frac{D_0}{I} + C \quad (6-22)$$

式中  $C$  为积分常数。

当  $x=0$  时  $\delta=0$ ，所以  $C=0$ 。又令  $\frac{\rho V_\infty x}{\mu} = Re_x$ ，则式(6-22)可写为

$$\delta = \sqrt{\frac{2D_0}{I} \cdot \frac{x}{Re_x^{1/2}}} \quad (6-23)$$

式(6-23)中的  $D_0$  与  $I$  取决于边界层中的速度分布，如果用式(6-20)的关系式，即  $\bar{v} = \sin \frac{\pi}{2} \bar{y}$

$$\therefore \frac{du}{dy} = \frac{\pi}{2} \cos \frac{\pi}{2} \bar{y} \quad (6-24)$$

紧贴板凸处  $\bar{y}=0$ ， $\left( \frac{d\bar{v}}{d\bar{y}} \right)_w = \frac{\pi}{2}$ ，因而  $D_0 = \frac{\pi}{2} = 1.571$ 。

$$\text{又 } I = \int_0^1 \bar{v}(1-\bar{v}) d\bar{y} = \int_0^1 (\sin \frac{\pi}{2} \bar{y} - \sin^2 \frac{\pi}{2} \bar{y}) d\bar{y},$$

$$= \frac{2}{\pi} \left[ -\cos \frac{\pi}{2} \bar{y} - \frac{\pi}{4} \bar{y} + \sin \frac{\pi \bar{y}}{4} \right] \\ = \frac{2}{\pi} \left( 1 - \frac{\pi}{4} \bar{y} \right) = 0.137 \quad (6-25)$$

$$\text{因此 } \sqrt{\frac{2D_0}{I}} = \sqrt{\frac{3.142}{0.137}} = 4.79$$

代入式(6-23)得

$$\delta = \frac{4.79x}{Re_x^{1/2}} \quad (6-26)$$

上式称为层流边界层厚度的近似解。(注:若边界层的温度分布线为  $\frac{v_x}{v_{\infty}} = \frac{3}{2} \frac{x}{\delta} - \frac{1}{2} \left(\frac{x}{\delta}\right)^3$ , 则标示  $\delta = \frac{4.64x}{Re_x^{1/2}}$ , 其中系数与 4.79 相差很小。)

例: 平板上层流边界层的速度分布可以下式表示

$$\bar{v} = A\bar{y} - B\bar{y}^3$$

式中  $A$  与  $B$  为常数, 当空气流速为 30 米·秒<sup>-1</sup>, 按此式计算平板端部以后一米处的边界层厚度。

解: 由式(6-23)知

$$\delta = \sqrt{\frac{2D_0}{I}} \cdot \frac{x}{Re_x^{1/2}}$$

$$\text{式中 } D_0 = \left( \frac{d\bar{v}}{d\bar{y}} \right)_w, \quad I = \int_0^1 \bar{v} (1 - \bar{v}) d\bar{y}.$$

首先确定  $A$  和  $B$  值, 在速度分布的外缘, 即

$$\bar{y} = 1, \quad \bar{v} = 1, \quad \frac{d\bar{v}}{d\bar{y}} = 0$$

代入题中所给的近似式, 得,

$$A - B = 1 \quad (1)$$

$$\text{将近似式求微商, 得 } \frac{d\bar{v}}{d\bar{y}} = A - 3B\bar{y}^2$$

$$\text{即 } A - 3B = 0 \quad (2)$$

联立求解(1)及(2)式, 得  $A = \frac{3}{2}$ ,  $B = \frac{1}{2}$ .

于是这似式为  $\bar{D} = \frac{3}{2} \bar{y} - \frac{1}{2} \bar{y}^3$  (3)

$$\frac{d\bar{D}}{d\bar{y}} = \frac{3}{2} - \frac{3}{2} \bar{y}^2, \text{ 于是 } D_0 = \frac{3}{2}$$

$$\begin{aligned} I &= \int_0^1 (A\bar{y} - B\bar{y}^3)(1 - A\bar{y} + B\bar{y}^3) d\bar{y} = \frac{A}{2} - \frac{A^2}{3} + \frac{2AB}{5} - \frac{B}{4} - \frac{B^2}{7} \\ &= \frac{3}{4} - \frac{9}{12} + \frac{6}{20} - \frac{1}{8} - \frac{1}{28} = \frac{39}{280} \end{aligned}$$

$$\text{于是 } \delta = \sqrt{\frac{2 \cdot \frac{3}{2}}{\frac{39}{280}} - \frac{x}{R_{ex}^{1/2}}} = 4.64 \frac{x}{R_{ex}^{1/2}}$$

$$R_{ex} = \frac{PV_{60}x}{\mu} = \frac{30 \times 1}{14.6 \times 10^{-6}} = 2.05 \times 10^6$$

$$\text{于是 } \delta = \frac{4.64 \times 1}{\sqrt{2.05} \times 10^3} = 3.22 \times 10^{-3} \text{ 米} = 3.22 \text{ 毫米.}$$

即在平板端部以后  $x$  处的层流边界层的厚度为 3.22 毫米.

### § 6-3 平板上湍流边界层的厚度

以边界层厚度  $\delta$  为特征长度的雷诺数写作  $Re_b = \frac{V_{60}\delta}{\nu}$ . 实验证明, 大约  $Re_b > 1500$  时边界层内流体的速度梯度较大, 使层流激变为湍流。如果平板不光滑, 或者来流本身犹带有湍动, 形成湍流的临界  $Re_b$  还要低于 1500. 但是即使在临界  $Re_b$  以上, 在平板端部边界层仍为零, 而在紧靠端部外, 仍然存在层流边界层, 虽然它可能很薄。

由式(6-26)知, 层流边界层厚度随  $x$  的增加而变厚, 即

$$\delta = 4.79 \times R_{ex}^{-\frac{1}{2}} = 4.79 V_x^{-\frac{1}{2}} x^{\frac{1}{2}} \nu^{\frac{1}{2}} \quad (6-27)$$

以式(6-27)代入  $Re_b$ , 得

6-12

$$Re_b = 4.79 \frac{U}{\nu} x^{\frac{1}{2}} \frac{1}{2} U^{\frac{1}{2}} \nu^{-\frac{1}{2}} = 4.79 U^{\frac{1}{2}} x^{\frac{1}{2}} \nu^{-\frac{1}{2}}$$

如果  $Re_b = 1500$  时，流动变为湍流，代入上式得

$$x = 9.9230 \cdot \frac{U}{U_\infty} \cong 70^5 \cdot \frac{U}{U_\infty} \quad (6-28)$$

也可写为

$$Re_x = 10^5 \quad (6-29)$$

以水为例， $U = 10^2$  米·秒<sup>-1</sup>，以  $x = 0.1 \cdot \frac{1}{U_\infty}$  米，如果  $U_\infty = 10$  米·秒<sup>-1</sup>，则  $x = 10^{-2}$  米，如果  $U_\infty = 10^2$  米·秒<sup>-1</sup>，则  $x = 10^{-3}$  米。所以随主流速度的增加，层流边界层的长度不断减小，愈来愈接近平板端部，而湍流边界层的长度则不断增加。分析湍流边界层的比较简单的方法是利用层流中完全区的湍流的实验式，即勃拉修斯 (Blasius) 关系式。

### 一、层流湍流流动的速度分布

流体在管内流动， $Re$  不大于  $2.5 \times 10^5$  时，勃拉修斯建议采用以下关系式：

$$C_f = 0.0791 Re^{-\frac{1}{4}} \quad (6-30)$$

层流内流体的速度分布可以下式表示

$$\frac{U_x}{U_{x_1}} = \left[ \frac{x}{(D/2)} \right]^{\frac{1}{n}} = \left( \frac{x}{a} \right)^{\frac{1}{n}} \quad (6-31)$$

式中速度  $U_x$  是距壁处的流体速度， $D$  为管直径， $a$  为半径。

将壁中心的流速用管道内流体的平均流速  $\bar{U}_x$  表示，得  $U_x = R \bar{U}_x$ ， $R$  为常数，则

$$U = R \bar{U}_x \left( \frac{x}{a} \right)^{\frac{1}{n}}$$

$$\text{即 } \bar{U}_x = \frac{U}{R} \left( \frac{x}{a} \right)^{\frac{1}{n}} \quad (6-32)$$

今以勃拉修斯关系式计算受壁处的切应力

$$\tau_w = C_f \frac{1}{2} \rho \bar{U}_x^2 = \frac{0.0791 \nu^{\frac{1}{4}}}{D^{1/4} \cdot \bar{U}_x^{1/4}} \cdot \frac{1}{2} \rho \bar{U}_x^2 = 0.03955 \rho \bar{U}_x^{\frac{3}{4}} \left(\frac{\nu}{D}\right)^{\frac{1}{4}}$$

$$\text{由方程 (6-32), } \bar{U}_x^{\frac{3}{4}} = \frac{\bar{U}_x^{\frac{3}{4}}}{R^{\frac{3}{4}}} \left(\frac{a}{y}\right)^{\frac{7n}{4}}$$

$$\therefore \tau_w = \frac{0.03955}{R^{\frac{3}{4}}} \cdot \rho \bar{U}_x^{\frac{3}{4}} \cdot \frac{a^{\left(\frac{7n}{4} - \frac{1}{4}\right)}}{y^{\frac{7n}{4}}} \cdot \nu^{\frac{1}{4}} \cdot \left(\frac{1}{2}\right)^{\frac{1}{4}}$$

$$\tau_w = \frac{0.0333}{R^{\frac{3}{4}}} \rho \bar{U}_x^{\frac{3}{4}} \cdot \frac{\nu}{y^{\frac{7n}{4}}} \cdot a^{\left(\frac{7n}{4} - \frac{1}{4}\right)} \quad (6-33)$$

在紧贴受壁的层流边界内，流体速度  $\bar{U}_x$  与受壁直径无关，亦即  $\bar{U}_x = f(a)$ ，为了在 (6-33) 式中使  $a$  不影响  $\tau_w$ ，必然存在  $\frac{7n}{4} - \frac{1}{4} = 0$ ，于是  $n = \frac{1}{7}$ ，以此代入式 (6-31)，遂得

$$\frac{\bar{U}_x}{\bar{U}_{x_1}} = \left(\frac{a}{y}\right)^{\frac{1}{7}} \quad (6-34)$$

式 (6-34) 为普朗特尔提出的管内湍流速度分布的七分之一方根规律。

当受壁直径很大时，这规律仍然适用，而平板可看作是在受壁直径无限大时的一块受壁，因此也可用于平板。若以  $\delta$  代  $a$ ，对平板来说，存在

$$\frac{\bar{U}_x}{\bar{U}_{\infty}} = \left(\frac{y}{\delta}\right)^{\frac{1}{7}} \quad \text{或} \quad \bar{U} = \bar{U}_{\infty} \left(\frac{y}{\delta}\right)^{\frac{1}{7}} \quad (6-35)$$

当  $Re_x < 10^6$  时，上式与实验结果相当符合，但不适用于受壁处，现将式 (6-34) 用于式 (6-33) 以计算受壁处的切应力，正确度尤佳。管内层流另为

$$\begin{aligned} \pi a^2 \bar{U} &= 2\pi \int_0^a \bar{U}_x r dr = 2\pi \bar{U} R \int_0^a \left(\frac{a}{y}\right)^{\frac{1}{7}} (a-y) dy \\ &= \frac{49}{60} \pi \bar{U} R a^2 \end{aligned}$$

6-14

式中  $a$ 、 $r$  与  $y$  的关系如图 (6-5) 所示，因此  $R = \frac{a}{4} = 1.224$ 。

于是式 (6-33) 可写为

$$C_f = 0.0234 \rho U_\infty^2 \left( \frac{r}{y} \right)^{\frac{1}{4}}$$

将上式用于平板 ( 相当直径很大的圆柱中只有很小圆周长的一次系数 ) 时，应用式 (6-35) 代入上式，得

$$C_f = 0.0234 \rho U_\infty^2 \left( \frac{r}{\delta} \right)^{\frac{1}{4}}$$

因为  $C_f = \frac{C_D}{\frac{1}{2} \rho U_\infty^2}$

所以在平板上的边界层内

$$C_D = 0.0468 \left( \frac{r}{U_\infty \delta} \right)^{\frac{1}{4}} = \frac{0.0468}{Re_b^{\frac{1}{4}}} \quad (6-36)$$

上式是由圆内端流速度分布的七分之八次方根规律导出的平板湍流边界层的阻力系数方程，应用上式可以确定湍流边界层厚度。

## 二、平板上湍流边界层厚度

由式 (6-21) 知：

$$\frac{d\delta}{dx} = \frac{C_f}{2I}$$

而式 (6-36)， $C_f = 0.0468 \left( \frac{r}{U_\infty \delta} \right)^{\frac{1}{4}}$  (6-36)

$$\begin{aligned} I &= \int_0^1 \bar{y}(1-\bar{y}) d\bar{y} = \int_0^1 \bar{y}^{\frac{1}{2}} (1-\bar{y}^{\frac{1}{2}}) d\bar{y} \\ &= \left[ \frac{7}{8} \bar{y}^{\frac{8}{7}} - \frac{7}{9} \bar{y}^{\frac{9}{7}} \right]_0^1 = \frac{63-56}{72} = \frac{7}{72} \end{aligned} \quad (6-37)$$

代入式 (6-21)，得

$$\frac{d\delta}{dx} = \frac{72 \times 0.0468 r^{\frac{1}{4}}}{2 \times 7 \times (U_\infty \delta)^{\frac{1}{4}}}$$

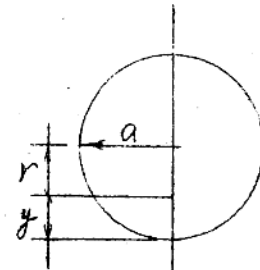


图 6-5.  $a$ 、 $r$  与  $y$  的关系